

بهینه‌سازی تغییرات ریزساختاری و خواص مکانیکی آلیاژ آلومینیم A360 تولید شده

به روش ریخته‌گری نیمه‌جامد

امین کلاهدوز^{۱*}، محسن لوح موسوی^۲

* نویسنده مسئول: aminkolahdooz@iaukhsh.ac.ir

واژه‌های کلیدی

چکیده

ریخته‌گری، بهینه‌سازی، شبکه عصبی،
الگوریتم ژنتیک، آلیاژ Al-A360

ریخته‌گری نیمه‌جامدها، فرآیندی نوین می‌باشد که می‌تواند قطعاتی با ساختار یکنواخت کروی و با خواص مکانیکی بهبود یافته را تولید نمود. در این مقاله از روش مذاب‌ریزی بر روی سطح شیبدار برای تولید آلیاژ آلومینیم A360 استفاده شده است. با جریان یافتن مذاب بر روی این سطح و اعمال تنش، فاز اولیه شاخه‌ای در این آلیاژ به یک فاز غیرشاخه‌ای تبدیل می‌گردد. در این تحقیق تاثیر پارامترهایی از قبیل طول و زاویه سطح، دمای قالب و دمای باربریزی به عنوان متغیرهای فرآیند در نظر گرفته شده و مقادیر سختی و استحکام آلیاژ بر اساس تغییرات در پارامتر اندازه دانه مورد محاسبه قرار می‌گیرد. در مرحله بعد، رابطه بین ورودی و خروجی‌های فرآیند با استفاده از شبکه عصبی به دست می‌آید. در نهایت رابطه به دست آمده با استفاده از الگوریتم ژنتیک بهینه می‌شود. نتایج نشان می‌دهد که با تغییر در دمای باربریزی و دمای قالب، سختی نمونه‌ها نیز تغییر می‌کند. به طوریکه با تغییر دمای باربریزی میزان ۱۲٪ افزایش و با تغییر دمای قالب به میزان ۵٪ سختی افزایش می‌یابد. همچنین طول و زاویه سطح شیبدار نیز به ترتیب تأثیر ۱۲٪ و ۹٪ در مقدار افزایش سختی و ۱۳٪ و ۶٪ در میزان افزایش استحکام دارد.

۱- استادیار، دانشکده مکانیک، دانشگاه آزاد اسلامی واحد خمینی شهر

۲- استادیار، دانشکده مکانیک، دانشگاه آزاد اسلامی واحد خمینی شهر

افراش داد تا ریزساختار مطلوب تری بدست آید. مرادیان و اکبری [۹] با استفاده از این روش اقدام به تولید شمش‌های تیکسوتروپیک^۱ نمودند. آنها گرارش کردند که علاوه بر شکل و اندازه جوانه‌های جامد فاز α -Al اولیه، اندازه و شکل و نحوه پراکندگی فاز سیلیسیم یوتکتیک نیز بر خواص مکانیکی شمش تولیدی موثر است. توشیو و همکاران [۱۰] به بررسی خواص شمش تولید شده با روش سطح شیدار با استفاده از قالب‌های متفاوت پرداختند. نتایج گرارش شده حاکی از آن است که هنگام استفاده از قالب فلزی عایق‌بندی شده، بعلت کاهش نرخ انتقال حرارت و در نتیجه نرخ خنک‌کنندگی پایین، سیلیسیم اولیه بسیار درشت شد. اما زمانی که از قالب مسی استفاده شد، به علت بهینه‌شدن نرخ خنک‌کنندگی، سیلیسیم اولیه ریز و درشتی ریز ساختار نیز دانه ریز شد. همچنین کجانگ [۱۱] و گارات [۱۲] تحقیق خود را بر روی آلیاژ‌های آلمینیم در حالت نیمه جامد، بنا نهادند و به این نتیجه رسیدند که شرایط گرمایش مجدد مانند دما و زمان نگهداری، جهت دستیابی به ساختار دانه ریز و یکنواخت بسیار حائز اهمیت می‌باشد. لی و همکاران [۱۳] از الگوریتم ژنتیک برای بهینه‌سازی طرح پارامترها در فرایند تولید فلزات نیمه جامد استفاده کردند. جیانگ و همکاران [۱۴] از یک استراتژی خنک‌سازی یا حرارتی مطلوب برای بدست آوردن توزیع حرارت یکسان در طول قطر یک استوانه در یک زمان نسبتاً کوتاه در تشکیل فلزات نیمه جامد آلیاژ آلمینیم A356 استفاده کردند. نیلی احمدآبادی و همکاران [۱۵] به بررسی اثر دمای سطح شیدار بر ریزساختار آلیاژ آلمینیم A356 پرداختند. آن‌ها بیان داشتند که با انجام باربریزی به صورت پیوسته، دمای سطح افزایش می‌یابد. این افزایش دما باعث کاهش اثر خنک‌کنندگی سطح شیدار و کاهش پدیده جداشدن ذرات جامد می‌شود. در نتیجه مذاب

از خصوصیات استحکام به وزن بالا می‌باشد. بنابراین می‌توان قطعاتی با وزن کمتر که موجب صرفه جویی در هدف سوخت می‌شود را تولید نمود. این امر در صنایع هواپی و خودروسازی از اهمیت ویژه‌ای برخوردار است. [۱] و [۲]. در حال حاضر در حدود ۸۵٪ تولیدات قطعات آلمینیمی به روش ریخته‌گری تحت‌فشار انجام می‌شود. در عین حال، وجود تخلخل، کاربرد این روش را در مواردی که نیاز به کیفیت بالا وجود داشته باشد، محدود می‌سازد و بعلاوه، امکان بهبود خواص را به کمک عملیات حرارتی از بین می‌برد [۳] و [۴]. قطعات ساختاری هواپیما مثل ناوادان تخلیه سیستم سوخت، قطعاتی هستند که نیاز به پایداری بالا در مقابل گسترش ترک خستگی دارند. این قطعات توسط فرآیندهای ماشینکاری و آهنگری تولید می‌شوند [۵]. تا چند سال گذشته عملیات آهنگری تنها راه تولید قطعات سبک و مطمئن بود، اما مصرف انرژی بالا، عدم توانایی تولید با شکل نهایی، هزینه بالای ماشین آلات و نرخ تولید کم از مشکلات این روش تولید محسوب شد [۵].

فان [۶] با تشریح مفهوم شکل‌دهی نیمه‌جامد، روش هایی از قبیل همزن مکانیکی، سطح شیب‌دار خنک‌کننده و ... را برای تولید ذرات کروی در برد انجام‌داد آلیاژ و برای تولید قطعه در سرعت‌های مختلف باربریزی پیشنهاد داد. روش ریخته‌گری به روش سطح شیب‌دار به عنوان روشی ساده، سریع و کم هزینه برای تولید شمش‌های نیمه جامد می‌باشد. ساختار حاصل از این روش با تغییر پارامترهایی از قبیل دمای باربریزی، جنس سطح شیب‌دار، طول و زاویه سطح شیب‌دار تغییر می‌کند [۷]. بیرون [۸] تاثیر دمای باربریزی و طول سطح شیب‌دار را در ریخته‌گری آلیاژ A357 مورد بررسی قرار داد و به این نتیجه رسید که با افزایش دمای باربریزی باید طول سطح شیب‌دار را نیز

1 - Thixotropic

۲- مواد و روش انجام آزمایش ها

در این تحقیق آلیاز آلومینیم A360 با ترکیب شیمیایی مندرج در جدول (۱) مورد استفاده قرار گرفت. پارامترهای متغیر فرآیند طبق جدول (۲) مورد بررسی قرار گرفته است. در ابتدا یک نمونه با روش متداول ریخته گری با دمای باریزی 670°C در قالب فلزی که یک استوانه فولادی با قطر داخلی 65 mm و ارتفاع 150 mm و با ضخامت 5 mm است، ریخته شد. از نکات قابل توجه در مورد قالب، آن است که جهت جلوگیری از چسبیدن مذاب به سطح قالب، سطح داخلی قالب همواره بایستی بوسیله اکسید زیرکونیوم پوشش داده شود. به منظور انجام هر یک از آزمایش‌ها میزان $2/5$ کیلوگرم از آلیاز در بوته‌ای از جنس کاربید سیلیسیم و توسط یک کوره مقاومتی حرارت داده شد تا ذوب گردد، پس از آن به آلیاز مذاب اجازه داده شد تا در دماهای باریزی سرد شود و در نهایت بر روی سطح شیبداری از جنس فولاد جریان یافته و در انتهای به درون قالب استوانه‌ای ریخته گری شده است (شکل ۱).

پس از اتمام مذاب‌ریزی و خنک شدن نمونه در دمای محیط، برش آن در فاصله 60 و 150 mm از قسمت زیرین آن انجام شد. پس از عملیات سنباده‌زنی، صیقل کاری و حکاکی با محلول weck، از تصویر میکروسکوپی نمونه‌ها 100 ذره انتخاب شد و قطر متوسط و فاکتور شکل آن‌ها با استفاده از یک سیستم آنالیز تصویری بدست آمد. برای محاسبه فاکتور شکل ذرات فاز اولیه، F ، که بیانگر میزان کرویت آنها است از رابطه (۱) استفاده شد [۳].

$$F = \frac{4\pi A}{P^2} \quad (1)$$

در این رابطه، A مساحت و P محیط دانه‌ها در سطح مقطع نمونه می‌باشد و افزایش فاکتور شکل بیانگر کرویت تر شدن دانه‌ها است.

جدول (۱) ترکیب شیمیایی آلیاز مورد استفاده (درصد وزنی)

عنصر آلیازی	Si	Cu	Mg	Zn	Fe	Al
درصد وزنی	۹/۰	۰/۲۹	۰/۲۹	۰/۱۱	۰/۴۲	۸۹/۸۵

تقریباً به صورت کامل وارد قالب شده و سبب می‌شود ساختار نهایی ساختاری غیر کروی یا با کرویت کم باشد. پارک و همکاران [۱۶] نیز به بررسی نحوه حرارتدهی قطعه‌ای از جنس آلیاز آلومینیم A356 در فرآیند آهنگری نیمه جامد پرداختند. ایشان شرط لازم جهت تولید مطلوب آلیاز را کمینه کردن اندازه ذرات در نظر گرفتند.

نوروزی و همکاران [۱۷] بهبود خواص آلیاز آلومینیم را در فرآیند باریزی روی سطح شیبدار بررسی کردند. آنان در مقاله خود به بررسی اثر دمای باریزی و دمای قالب پرداخته‌اند. آنان اعلام داشتند که دمای باریزی تاثیر زیادی در اندازه دانه‌های فاز اولیه خواهد داشت در صورتی که دمای قالب باعث بهبود میزان کرویت دانه‌های به وجود آمده می‌شود.

حسینی و همکاران [۱۸] نیز به بررسی عواملی هم چون دمای باریزی، زاویه و طول سطح شیبدار روی اندازه دانه و کرویت آلیاز آلومینیم پرداختند.

همان‌گونه که مشخص است تحقیقات صورت پذیرفته در این مسیر تنها به بررسی اثر یک یا دو عامل، بخصوص عواملی مانند طول و زاویه سطح شیبدار و یا دمای باریزی پرداخته‌اند.

در این تحقیق، آلیاز آلومینیم A360 به دلیل ریخته گری و قابلیت جوشکاری مناسب، مقاومت در برابر سایش و مقاومت پوششی بالا انتخاب شده است. ابتدا با تغییر در پارامترهایی از قبیل دمای قالب، دمای باریزی، طول و زاویه سطح شیبدار که باعث تغییر در سرعت ریخته گری و انجام آلیاز می‌گردد، به بررسی تجربی تغییرات در مقدار و شکل اندازه دانه فاز اولیه پرداخته شده است. در ادامه ارتباط این تغییرات با سختی و استحکام نتایج مورد ارزیابی قرار گرفته و در نهایت با استفاده از الگوریتم ژنتیک و شبکه عصبی بهترین نتیجه گزارش گردیده است.

گرفت. برای انجام آزمایش کشش مطابق با استاندارد اشاره شده، از قطعات تولیدی نمونه‌های دمبلی شکل با قطر مقطع ۹ میلی‌متر و طول تحت کشش ۴۵ میلی‌متر تهیه شد. برای برخورداری از دقت بالا و اعتبارسنجی بر نتایج، از هر قطعه سه نمونه کشش تهیه شد.

۳- نتایج و بحث

۱-۱- ریخته‌گری ثقلی

شکل (۲) ریزساختار آلیاژ آلمینیوم A360 در حالت ریختگی معمولی در قالب فلزی با دمای باربریزی 670°C را نشان می‌دهد. ساختار دندریتی^۱ حاصل از ریختگی در این شکل به وضوح مشاهده می‌شود. سختی نمونه ریخته‌گری معمولی $59/8\text{ HB}$ و تنش سیلان آن 119 Mpa بدست آمد.

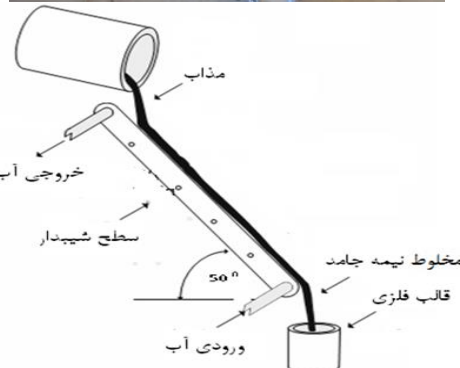


شکل (۲) ریزساختار آلیاژ آلمینیوم A360 در حالت ریختگی معمولی در قالب فلزی با دمای باربریزی 670°C

ریزساختار حاصل از ریخته‌گری معمولی شامل دندریتهای درشت فاز آلفای اولیه و فاز یوتکنیکی بین دندریتی سیلیسیم است. فاز یوتکنیکی به صورت شاخه‌های سوزنی سیلیسیم یوتکنیک می‌باشد که در زمینه‌ای از فاز آلفای اولیه پراکنده شده‌اند. سیلیسیم موجود در آلیاژ A360 به صورت محلول می‌باشد که با افت دما میزان حلایت آن در آلمینیم کاهش می‌یابد. با کاهش دما در دمای یوتکنیک، سیلیسیم شروع به جوانه زنی و رشد می‌کند. این رشد به صورت شاخه‌های سوزنی می‌باشد. از آنجائیکه

جدول (۲) پارامترهای آزمایش

دمای باربریزی (PT) (°C)	$670, 650, 630, 610, 590$
طول سطح شیبدار (CL) (mm)	$500, 400, 300$
زاویه سطح شیبدار (CA) (درجه)	$60, 45, 30$
دمای قالب (°C)	$600, 300, 25$

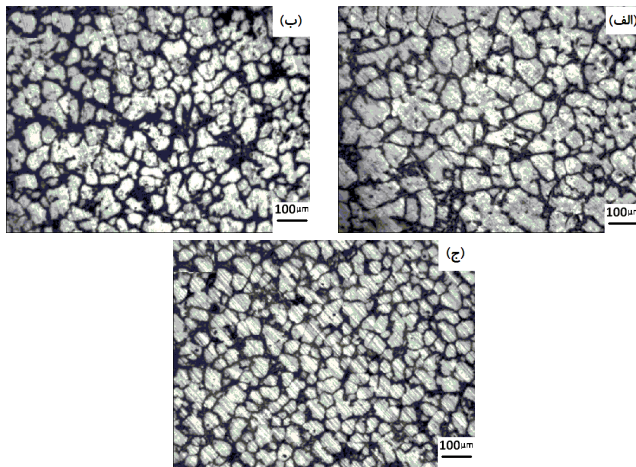


شکل (۱) دستگاه مورد استفاده در این تحقیق و شماتیک عملکرد فرآیند

همچنین جهت بررسی خواص مکانیکی قطعات تولید شده در تحقیق حاضر، آزمایش‌های سختی و کشش روی قطعات انجام پذیرفت. آزمایش سختی مطابق با استاندارد ASTM E23 به وسیله دستگاه سختی سنج دیجیتالی یونیورسال مدل کوپا UV1 و تحت شرایط نیروی $2\text{ mm}^2, 5\text{ Kgf}$ ، زمان اعمال نیروی 3 ثانیه و با قطر گوی 2 mm انجام گرفت. جهت آزمایش سختی تمامی نمونه‌ها از نظر عدد سختی برنیل در ۵ نقطه مختلف و با رعایت نکات لازم صورت پذیرفت. برای تعیین مقدار تنش سیلان، روی قطعات تولیدی آزمایش کشش انجام گرفت. آزمایش کشش مطابق با استاندارد ASTM B557 M صورت

1 - Dendrite Structure

اثر جریان و همچنین ریختن مخلوط نیمه جامد به درون قالب منتفی شده و مورفولوژی ذرات حاصله دندربیتی می‌شود. این پدیده اهمیت رسیدن به دمای باربریزی بهینه را نشان می‌دهد.



شکل (۴) ریزساختار نمونه ریخته گری در دماهای باربریزی (الف)
۶۵۰°C (ب) ۶۷۰°C (ج) ۶۳۰°C

نمودار حاصل از تغییرات سختی نمونه‌ها بر حسب دمای باربریزی در شکل (۵) آمده است. پایین تر بودن عدد سختی مربوط به نمونه ریخته گری ثقلی (۵۹HB) نسبت به نمونه ریخته گری روی سطح شیدار (۶۳HB) در دمای یکسان باربریزی حاکی از تاثیر بکارگیری سطح شیدار در ریزتر کردن ساختار از طریق اعمال تنفس بشی و شکستن شاخه‌های دندربیتی است. با کاهش دمای باربریزی از ۶۷۰°C به ۶۳۰°C و سپس به ۶۱۰°C مشاهده می‌شود که سختی روند افزایشی داشته به طوری که به بیشترین مقدار خود در دمای ۵۸۰°C یعنی ۶۹HB می‌رسد. در واقع با کاهش دمای باربریزی و برخورداری از دمای فوق گذاز کم، کسر جامد بیشتری بر روی سطح شیدار منجمد می‌شود که این امر خود باعث افزایش سهم جامدی منجمد شده به صورت غیردندربیتی می‌شود.

سیلیسیم عنصر اصلی آلیاژ A360 می‌باشد مورفولوژی و خواص مکانیکی این آلیاژ تحت تاثیر نوع ساختار سیلیسیم و توزیع آن قرار دارد. میزان جذب گاز، سیالیت آلیاژ و خواص ریخته گری این آلیاژ با اصلاح ساختار فاز آلفای اولیه بهبود می‌یابد. با توجه به اینکه فاز آلفای اولیه به صورت شاخه‌ای و جامد می‌باشد سیالیت مذاب را کاهش داده و از آنجاییکه این شاخه‌ها در حین باربریزی با هم تداخل می‌یابند لذا عدم پرشدن حفره‌ها و گوشه‌ها را موجب می‌شود. همچنین این شاخه‌ها با بوجود آوردن حفره‌ها و جلوگیری از ارتباط مذابی که در بین شاخه‌های دندربیتی می‌باشد، باعث ایجاد تخلخل می‌شوند.

۲-۳- عوامل موثر بر سرعت ریخته گری و انجام داد

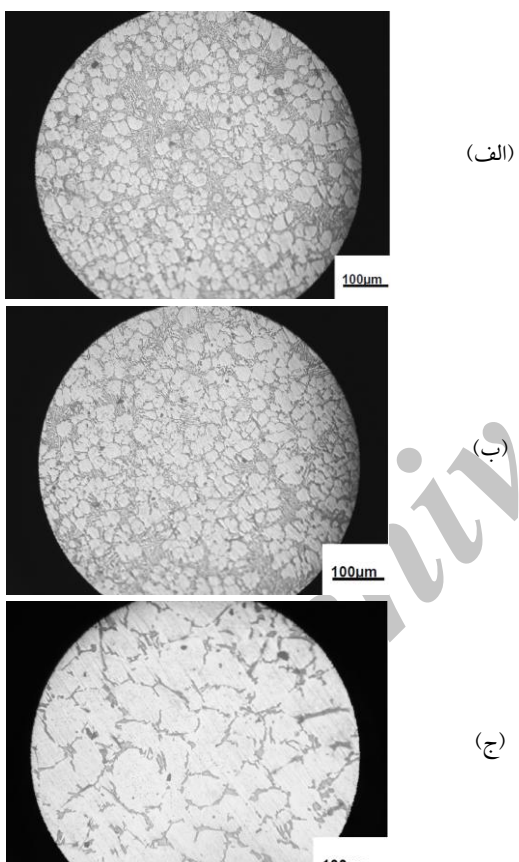
در این بخش از مقاله به بررسی تاثیر عوامل مختلف در تغییرات ریزساختار و خواص مکانیکی آلیاژ پرداخته شده است.

۱-۲-۳- تاثیر دمای باربریزی

شکل (۳) ریزساختار نمونه‌های حاصل از ریخته گری در دماهای باربریزی ۶۳۰°C، ۶۷۰°C و ۶۵۰°C را نشان می‌دهد. همانطور که مشاهده می‌شود، روند تغییر در شکل ریزساختار با کاهش دمای باربریزی بسیار واضح است. دمای باربریزی یکی از عوامل مهم و موثر در فرآیند است. این پارامتر بر روی میزان کسر جامد تأثیر گذاشته است. اگر این دما خیلی کاهش یابد، باعث افزایش نامناسب کسر جامد می‌شود که به تبع آن اندازه متوسط ذرات و درجه آگلومره^۱ شدن افزایش و میزان کرویت کاهش می‌یابد. بر عکس، با افزایش بیش از حد دمای باربریزی، گرمایی که به سیستم تحمیل می‌شود بیشتر شده و مناطق جامد و خمیری بر روی سطح محدودتر شده و تدریجیًّا محو می‌شوند. بدین ترتیب، پدیده تشکیل ذرات جامد روی سطح و جدا شدن آنها بر

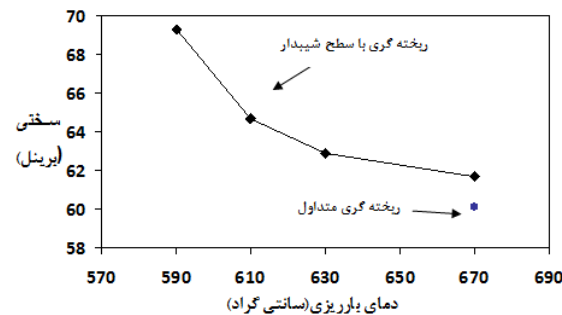
۱ - Agglomerate

مناسب تر فاز جامد α اولیه، تجزیه یوتکنیک با سرعت کمتری نیز صورت می‌گیرد. بنابراین آنچه که در این حالت حاصل می‌شود ایجاد دانه‌های ریز هم محور آلومنیم ثانویه به همراه توزیع یکنواخت‌تر این فازها می‌باشد. با مقایسه شکل‌های (۶-الف) و (۶-ب) مشاهده می‌شود که افزایش دمای قالب از 25°C به 300°C تاثیر چندانی روی اندازه فازهای جامد α اولیه نداشت، بلکه ریز توزیع و مورفولوژی ریزساختار حاصل از واکنش یوتکنیک اثر قوی‌تر دارد.



شکل (۶) ریزساختار آلیاژ در دماهای قالب (الف) 25°C ، (ب) 300°C ، (ج) 580°C

با توجه به شکل (۶-ج) مشاهده می‌شود که دانه‌های آن در مقایسه با دو حالت قبلی درشت‌تر شده است و فازهای حاصل از یوتکنیک به مقدار اندک در بین آنها توزیع شده‌اند. افزایش دمای قالب از 300°C به 580°C باعث شده است تا اولاً انجامد فازهای حاصل از یوتکنیک



شکل (۵) نمودار تغییرات سختی در دماهای باربریزی مختلف، طول 400 mm و زاویه 45°

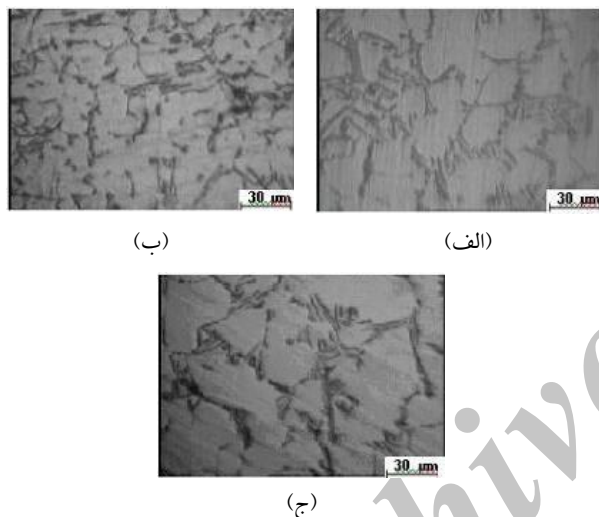
۳-۲-۳- تأثیر دمای قالب

سرعت سرد شدن به عنوان یک پارامتر مهم در انجاماد قطعات ریختگی همواره مورد توجه بوده است. سرعت‌های انجامادی مختلف باعث تغییر در ریزساختار، اندازه دانه، مورفولوژی فازهای یوتکنیکی، فاصله بین بازوهای دندانی و فازهای بین فلزی می‌گردد. برای بررسی اثر سرعت سرد کردن بر ریزساختار، نمونه‌هایی با دماهای قالب 25°C و 300°C و 580°C ریخته‌گری شد.

در شکل (۶) ریزساختار آلیاژ آلومنیم A360 حاصل از ریخته‌گری در روی سطح شیدار با طول 400 mm ، زاویه 60° ، دمای باربریزی 630°C و با دماهای مختلف قالب نشان داده شده است. شکل (۶-الف) ریزساختار نمونه با دمای قالب 25°C را نشان می‌دهد. به علت شب حرارتی بالا در این حالت، انجاماد سریع مذاب با جوانه زنی اولیه روی دیواره قالب شروع شده و به سمت مرکز آن پیش می‌رود بنابراین فرصت کافی برای جابجایی ذرات جامد اولیه در داخل مذاب فراهم نبوده و در نتیجه دارای ساختاری با توزیع تقریباً غیریکنواخت می‌شود.

با افزایش دمای قالب به 300°C (شکل ۶-ب) نرخ انجاماد مذاب و رشد جوانه‌ها در مقایسه با شکل (۶-الف) کاسته شده، لذا امکان جابجایی و انتقال نسبت به حالت قبل فراهم‌تر شده است با این حال ضمن توزیع

بوتهای ریزتر منجمد شده است ولی با افزایش طول از ۴۰۰ mm به ۵۰۰ mm (شکل ۷-ج) اندازه گل بوتهای بزرگتر و توزیع آنها نامنظم شده است. دلیل این امر را می‌توان به مدت زمان نسبتاً زیاد انجام آلیاژ روی سطح شیبدار و افزایش کسر حجمی جامد قبل از ورود به داخل قالب مربوط کرد که سبب برخورد ذرات جامد با یکدیگر شده است و بهم چسبیدن احتمالی آنها را بدنبال دارد. به این ترتیب، اندازه گل بوتهای افزایش یافته است. توزیع غیر یکنواخت گل بوتهای را می‌توان به کاهش کسر مذاب داخل قالب و بنابراین عدم برخورداری از توزیع مناسب آن در بین ذرات مربوطه دانست.



شکل (۷) ریزساختارهای حاصل از ریخته گری در طولهای (الف) ۳۰۰ mm (ب) ۴۰۰ mm (ج) ۵۰۰ mm

همان‌طور که اشاره شد بهتر شدن ریز ساختار به صورت طبیعی بر روی مشخصات مکانیکی از جمله سختی آلیاژ تاثیر مثبت می‌گذارد. در واقع هر چه بتوان ریزساختاری کروی‌تر با توزیع بهتر ایجاد کرد می‌توان انتظار داشت که آلیاژ به سختی بالاتری برسد. شکل (۸) منحنی‌های تغییرات سختی را با طول سطح برای زوایای مختلف نشان می‌دهد. همان‌طور که در شکل پیداست در تمامی زوایا، مقدار سختی در طول سطح شیبدار ۴۰۰ mm نسبت به دیگر طولهای مورد آزمایش بیشتر شده است. هم‌چنین تحقیقات سایر محققان نیز بیانگر یک طول بهینه در هر دما برای شمش‌های ریخته شده توسط سطح شیبدار می‌باشد.

با سرعت بسیار کمتر صورت گیرد. ثانیا فاز آلومینیم جامد اولیه نیز از طریق پیوستن ذرات جامد دندریتی معلق در مذاب و همچنین ذرات آلومینیم ثانویه به آن درشت‌تر شوند. به بیان دیگر پایین بودن سرعت انجام شرایط مناسبی را برای استحاله نفوذ فراهم ساخته است تا ذرات جامد اولیه به عنوان مراکز جوانه زنی ذرات آلومینیم ثانویه و همچنین پیوستن شاخه‌های دندریتی به آن عمل کرده و افزایش اندازه دانه‌ها را بدنبال داشته باشد که این پدیده به سبب کاهش انرژی سیستم از طریق کاهش فصل مشترک ذرات صورت گرفته است.

در جدول (۳) مقادیر سختی نمونه‌های ریخته گری شده روی سطح شیبدار با دمای قالب مختلف درج شده است. نمونه حاصل از قالب با دمای ۳۰۰ °C، بعلت ریزترشدن و توزیع یکنواخت‌تر ساختار، مقدار سختی بالاتر یعنی ۸۰/۶ نسبت به دو حالت دیگر دارا می‌باشد.

جدول (۳) مقادیر سختی در دماهای مختلف قالب، طول

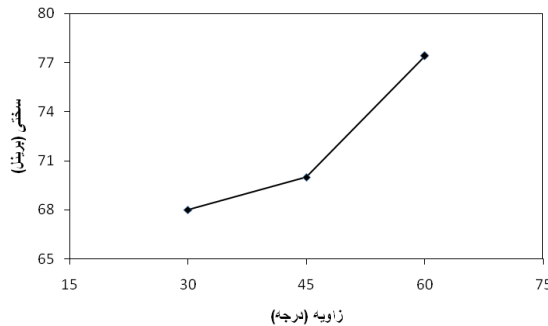
۶۳۰ °C، زاویه ۴۰°، دمای باریزی ۴۰۰ mm

دماهای قالب (°C)	۲۵	۳۰۰	۵۸۰
سختی (HB)	۷۷	۸۰/۶	۷۶/۲

۳-۲-۳- تأثیر طول و زاویه

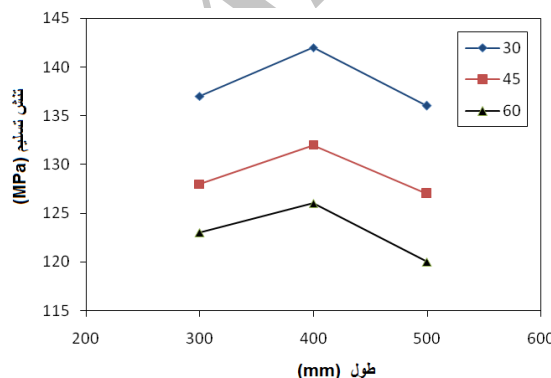
شکل (۷) ریزساختار حاصله در روش سطح شیبدار در هنگامی که پارامتر متغیر میزان طول می‌باشد را نشان می‌دهد. مطابق شکل (۷-الف) برای طول کم (۳۰۰ mm) این کریستال‌ها از سطح جدا شده اند و بداخل جریان مذاب افتاده اند و همین طور قبل از اینکه رشد کافی داشته باشند از انتهای سطح شیبدار به داخل قالب هدایت می‌شوند. بنابراین بخش اعظم آلیاژ در داخل قالب به صورت دندریت هم محور موسوم به گل بوته ای منجمد می‌گردید. مطابق شکل (۷-ب) برای طول ۴۰۰ mm به دلیل کافی بودن مدت زمان اعمال تنش برشی مقدار بیشتری از فاز جامد قبل از ورود به قالب تحت تنش برشی واقع شد و به شکل گل

شکل (۱۰) منحنی تغییرات سختی را بر حسب زاویه شیب برای طول شیب 400 mm نشان می‌دهد. همان‌گونه که در شکل پیداست این نتایج مطابق با تغییرات ریزساختاری است. به عبارت دیگر برای زاویه 60° نسبت به زوایای 30° و 45° مقدار سختی بالاتری به دست آمده است. به بیان دیگر در زاویه 60° بالاترین میزان سختی یعنی $77/4\text{HB}$ بدست آمده است.

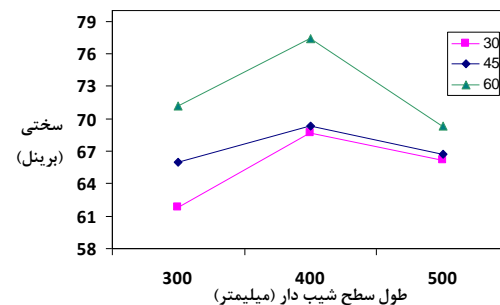


شکل (۱۰) نمودار تغییرات سختی بر حسب زاویه سطح شیبدار در دمای بار ریزی 580°C و طول 400 mm

هم چنین به جهت بررسی خواص مکانیکی علاوه بر سختی‌سنگی، در تمام طول‌ها آزمایش استحکام کشش آن‌ها نیز مورد ارزیابی قرار گرفت. شکل (۱۱) نمودار تغییرات تنش سیلان آلیاژ را بر حسب طول سطح شیبدار برای سه زاویه نشان می‌دهد. همان‌گونه که در شکل مشخص است نمونه با طول 400 mm و زاویه 60° بیشترین تنش سیلان را دارا می‌باشد. به طوری که تنش سیلان نمونه‌ها از 122Mpa (زاویه 30° و طول 300 mm)، به 142Mpa (زاویه 60° و طول 400 mm) افزایش می‌یابد.

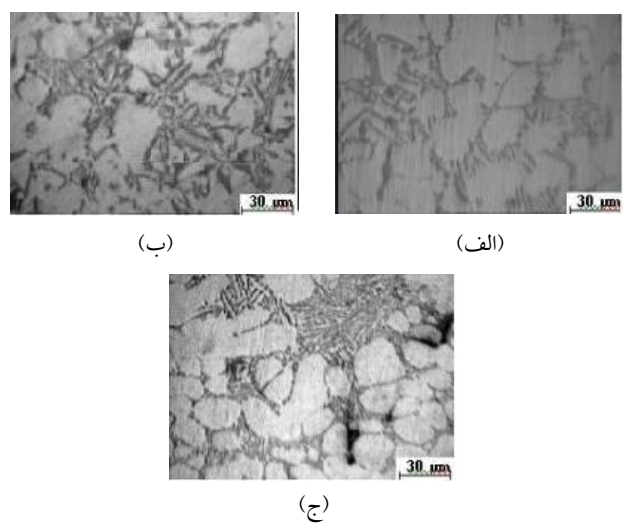


شکل (۱۱) نمودار تغییرات تنش سیلان بر حسب طول سطح شیبدار در زوایای سطح 30° ، 45° و 60°



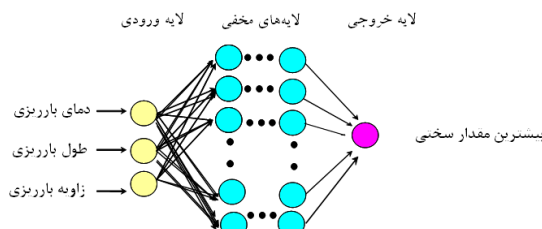
شکل (۸) نمودار تغییرات سختی بر حسب طول سطح در زوایای 30° ، 45° و 60° ، دمای قالب 300°C ، دمای بار ریزی 630°C

شکل (۹) مقایسه‌ای بین ریزساختار را در روش سطح شیبدار برای زوایای مختلف نشان می‌دهد. همان‌گونه که مشخص است بهبود ریزساختار در زاویه 60° درجه به طور کامل قابل تشخیص است. این امر به دلیل فراهم بودن نرخ تنش برشی کافی برای شکستن و خرد شدن دندانیتها در این حالت می‌باشد. نتایج بدست آمده نشان می‌دهد که اگر چه در این فرآیند برای تبدیل ساختار دندانی به کروی دو عامل نرخ تنش برشی و مدت زمان اعمال تنش برشی تواماً دخالت دارند، اما تاثیر نرخ تنش برشی قوی‌تر از عامل دوم است. به بیان دیگر با افزایش نرخ تنش برشی حتی در زمان کم هم می‌توان به ساختار کروی دست یافت، اما عکس آن صادق نیست، یعنی با نرخ تنشی کمتر از یک حد معین با افزایش زمان اعمال تنش برشی نمی‌توان به هدف فوق رسید.



شکل (۹) ریزساختارهای حاصل از ریخته‌گری در زاویه‌های (الف) 30° ، (ب) 45° و (ج) 60°

(الف)
(ب)
(ج)



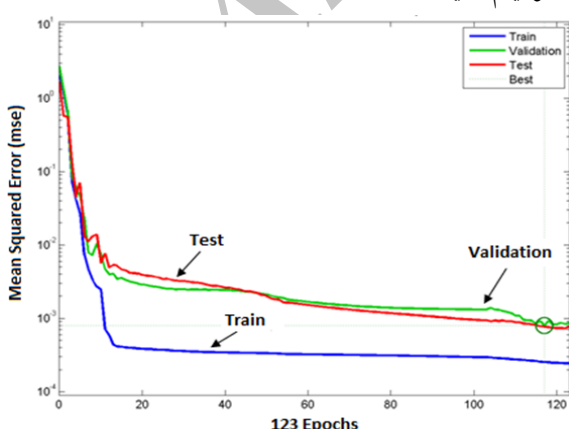
شکل (۱۲) شماتیک ساختار شبکه عصبی مورد استفاده

به منظور تعیین تعداد گره‌های لایه مخفی در شبکه، چندین شبکه BP با گره‌های مخفی مختلف در نظر گرفته شدند و خطاهای MSE از طریق فرمول زیر محاسبه شدند.

$$MSE = \frac{1}{M} \sum_{i=1}^M (t_k - a_k)^2 \quad (2)$$

در این رابطه M تعداد کل پارامترهای آموزشی و t_k مقدار مبنا و a_k برابر مقدار خروجی شبکه می‌باشد.

در شکل (۱۳) منحنی خطای شبکه انتخاب شده نمایش داده شده است. نتایج نشان می‌دهد که با تک لایه مخفی BPNN که شامل ۶ نرون می‌باشد و استفاده از الگوریتم آموزشی لونبرگ-مارکوارت، خطای MSE برای آموزش، اعتبار و تست به ترتیب 0.00079 , 0.00025 و 0.00076 می‌گردد. در شکل (۱۴) نمودارهای رگرسیون این شبکه پس از آموزش، برای داده‌های مختلف نمایش داده شده است. برای این شبکه مقادیر $R > 99\%$ در آموزش و $R > 98\%$ در اعتبار و $R > 99\%$ در تست به دست آمد. با توجه به این شکل، این مدل، نتایج و پیش‌بینی خوبی را ارائه می‌دهد. لذا از این شبکه عصبی به عنوان تابع هدف در الگوریتم رزنتیک استفاده شد.



شکل (۱۳) منحنی خطا شبکه با مدل BPNN

۳-۳-۳- بینه‌سازی پارامترها

۳-۱-۲-۳- طراحی شبکه عصبی

جهت ایجاد شبکه عصبی نیاز به داده‌های ورودی و خروجی متناظر با آن ورودی‌ها می‌باشد. در نتیجه جهت به دست آوردن مقدار بهینه هر پارامتر لازم است دامنه آن مشخص شود و سپس در اثر تغییرات بر روی $\%99$ در خروجی مشخص گردد. لذا با توجه به نتایج به دست آمده، محدوده دامنه پارامترهای فرآیند سطح شیبدار، به عنوان متغیرهای فرآیندی، به صورت جدول (۴) در نظر گرفته شدند.

جدول (۴) دامنه متغیرهای فرآیند

متغیر	دامنه		
	(CA) زاویه (درجہ)	(CL) طول (mm)	(PT) دماهی (°C)
حد پایینی	۳۰	۳۰۰	۵۹۰
حد بالایی	۶۰	۷۰۰	۶۸۰

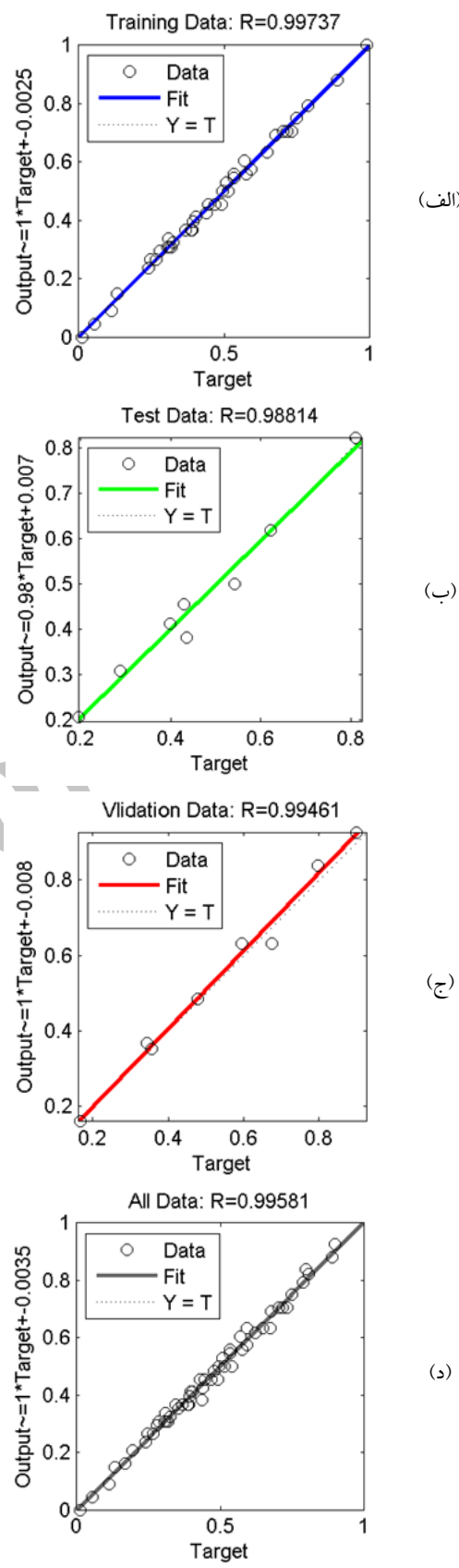
در این تحقیق از شبکه‌های پس انتشار پیشخور^۱ با الگوریتم آموزش لونبرگ-مارکوارت^۲ در محیط نرم افزار متلب استفاده شده است. بهمنظور ارتباط پارامترهای این فرآیند با سختی از یک مدل BPNN استفاده شده است که در شکل (۱۲) نشان داده شده است. مدل سازی فرآیند با این شبکه شامل سه مرحله آموزش، اعتبار و آزمایش است. اطلاعات ورودی شامل مقادیری برای پارامترهای دمای باربریزی، طول سطح و زاویه سطح و سایز در منطقه مرکزی است. تعداد ۳۷ مجموعه اطلاعاتی (حدود ۷۰٪ داده‌ها) به طور تصادفی برای فرآیند آموزش انتخاب و استفاده شدند و تعداد ۸ مجموعه اطلاعاتی (حدود ۱۵٪ داده‌ها) برای اعتبار دادن به این شبکه مورد استفاده قرار گرفته و ۸ مجموعه اطلاعاتی باقی مانده برای تست دقت پیش‌بینی مدل آموزش داده شده و بازبینی شده استفاده شدند.

1 - Back-propagation Natural Network (BPNN)

2 - Levenberg-Marquardt

۲-۲-۳- بهینه‌سازی با الگوریتم ژنتیک

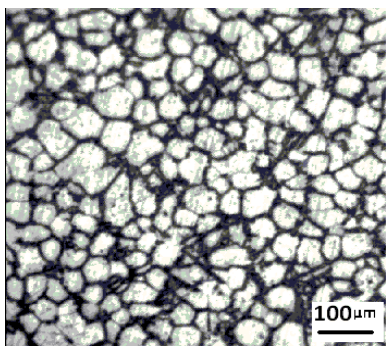
در این مقاله هدف یافتن مقادیر بهینه‌ی پارامترهای فرایند می‌باشد به طوری که بتوان به ساختاری با بیشترین مقدار سختی دست یافت. الگوریتم ژنتیک برای تعیین برازنده‌گی هر یک از کروموزوم‌ها نیاز به یک تابع برازنده‌گی دارد و همانطور که گفته شد شبکه عصبی آموزش داده شده به عنوان تابع برازنده‌گی تعریف می‌گردد. الگوریتم ژنتیک دارای متغیرهای متعدد می‌باشد که تغییر هر یک از آن‌ها بر دقت و صحت جواب مسئله تاثیر می‌گذارد. بازه‌های جستجو شده برای تعیین مقادیر مربوط به نرخ جهش، نرخ تقاطع و اندازه جمعیت به ترتیب [۰/۱-۰/۱]، [۰/۹-۰/۸] و [۰/۴۰۰-۰/۴۰] در نظر گرفته شدن. در این حالت کلی با شرایط $PT < 680$, $CA < 60$, $CL < 700$ برای پارامترهای فرایند مورد بررسی قرار گرفته است. از آن جایی که الگوریتم ژنتیک یک الگوریتم جستجوی تصادفی می‌باشد در تکرارهای مختلف جواب‌های متفاوتی فراهم می‌کند، به همین دلیل بهینه‌سازی ۱۰ بار تکرار شده است تا اطمینان حاصل شود که الگوریتم به یک جواب بهینه همگرا می‌شود. به منظور بهینه‌سازی این مسئله و انتخاب راه حل‌های مطلوب با کمترین زحمت محاسباتی، پارامترهای الگوریتم ژنتیک در جدول (۵) ارائه شده‌اند. شکل (۱۵) تابع هدف را در مقابل تعداد تکرارهای مختلف نشان می‌دهد. در این شکل منحنی با خط‌چین ممتد برازنده‌گی شایسته‌ترین فرد هر نسل و منحنی با خط‌چین غیرممتد میانگین برازنده‌گی افراد هر نسل را نمایش می‌دهد. با توجه به این منحنی، همانگونه که از الگوریتم ژنتیک انتظار می‌رود میزان برازنده‌گی بهترین فرد، نسل به نسل افزایش و در مواردی بدون تغییر باقی می‌ماند. درین تمام کاندیداهای بدست آمده احتمالی از پارامترهای ورودی مطلوب، مجموعه‌ای که سختی بالاتری را می‌دهد و نیازهای



شکل (۱۴) رگرسیون مربوط به شبکه با مدل BPNN پس از آموزش به ازاء (الف) داده‌های آموزش (ب) داده‌های تست، (ج) داده‌های ارزیابی و (د) کل داده‌ها

جدول (۶) شرایط بهینه ریخته گری

خروجی		ورودی			
سختی		دماي قالب (°C)	زاويه (درجه)	طول (mm)	دماي بارريزي (°C)
۷۸/۱۵۳۲	۳۰۰	۵۸/۵۶۴	۳۹۸/۷۵۲	۶۳۰/۰۱	



شکل (۱۶) ریزاساختار نمونه حاصل از ریخته گری در شرایط بهینه

۵- نتیجه گیری

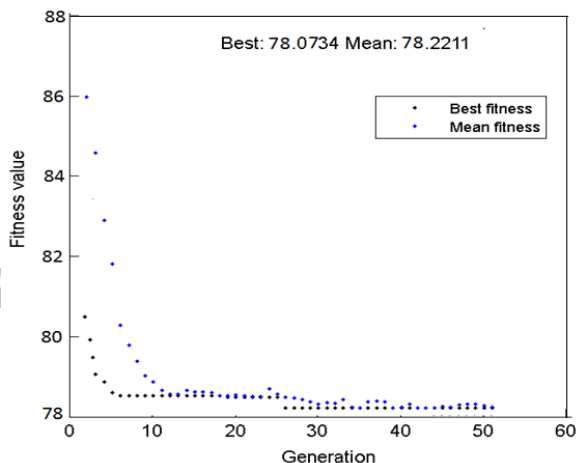
با بررسی دماهای بارريزی مختلف دمای 580°C به عنوان مناسب ترین دما به دست آمد. مقدار سرسرخی 69 HB نیز افزایش یافت. در این دما علاوه بر انقباض کمتر نمونه، سختی نیز افزایش یافت. در این حالت مقدار سختی HB به دست آمد. در ادامه با تجهیز سطح شیدار به یک سیستم آبگرد از زیر، دماي بارريزی مناسب از 580°C به 630°C افزایش یافت. همچنین با ریختن دوغاب به داخل قالب با دماهای مختلف بهترین نتیجه با دماي قالب 300°C حاصل شد. با مطالعه بر روی طول و زاويه سطح مقادیر مناسب این پارامترها به ترتیب 400 mm و 40° تعیین شدند. همچنین شبکه عصبی پیشنهادی توانست به خوبی مقدار سختی را برای تغییر در پارامترهای ورودی پیش‌بینی کند. شرایط بهینه جهت بارريزی با تقریب مناسب، دماي بارريزی 630°C ، دماي قالب 300°C ، طول 400 mm و زاويه 40° بدست آمد. پس از بارريزی در این شرایط، مقدار سختی 78 برینل به دست آمد و نشان دهنده بهبود مناسب ریزاساختار در این شرایط بود.

ضریبی را برآورده می‌سازد به عنوان نقطه مطلوب کلی در

فرایند انتخاب شده است.

جدول (۵) مقادیر پارامترهای تنظیمی الگوریتم ژنتیک

پارامتر تنظیمی الگوریتم ژنتیک	مقدار
اندازه جمعیت	۱۰۰
تایپ انتخاب	یکنواخت همگن
نخبه گزینی	۲
نرخ تقاطع	۰/۸۵
تایپ تقاطع	پراکنده
نرخ جهش	۰/۰۱
تایپ جهش	یکنواخت
تعداد نسل‌ها	۵۰



شکل (۱۵) تغییرات تایپ برازنده‌گی نسبت به نسل‌ها

در شکل (۱۵) مقدار بیشترین سختی در ۴۴ مرتبه تکرار برابر $78/1532$ بدست آمد. زمان کلی فرایند بهینه سازی برای 50 بار تکرار برابر $1/5$ دقیقه شد. ورودی‌های مطلوب مربوط به مقدار بیشترین سختی در جدول (۶) ارائه شده است. در نهایت برای اعتبار بخشی به داده‌های به دست آمده، با تقریب مناسب، تست آزمایشگاهی در شرایط بهینه صورت پذیرفت. شکل (۱۶) ریزاساختار نمونه حاصل از ریخته گری در شرایط ذکر شده را نشان می‌دهد که دارای سختی 78 برینل است.

فهرست علائم

[۹] مرادیان م., اکبری غ.-ج., بررسی تاثیر پارامترهای ریختگری بر ریزساختار Al-A357 تولید شده در حالت نیمه جامد به روش تیکسو کستینگ، چهارمین کنفرانس شکل دهنی فلزات و مواد ایران، سال ۱۳۸۷.	پارامتر فاکتور شکل	F
[10] Haga T., Kapranos p., "Billetless simple thixoforming process", <i>Journal of material processing Technology</i> , vol. 130-131, 2002, pp. 581-586.	مساحت دانه‌ها	A
[11] Garat M., Blais S., Pluchion C., Loue W.R., "Aluminum semi-solid processing from the billet to the finished part", <i>5th international conference on semi-solid processing of alloys and composites</i> , Colorado, 1998.	محیط دانه‌ها	P
[12] Kjung H., Kang C.G., Jung K.D., "Control liquid segretion of semi-solid aluminum alloys during intelligent compression test", <i>Intelligent processing and manufacturing of materials</i> , 1999, pp. 609-703.	دماهی باربریزی	PT
[13] Li H.J., Qi L.H., Han H.M., Guo L.J., "Neural network modeling and optimization of semi-solid extrusion for aluminum matrix composites", <i>Journal of Materials Processing Technology</i> , Vol 151, 2004, pp. 126-132.	طول سطح شیبدار	CL
[14] Jiang H., Nguyen T.H., Prud'homme M., "Optimal control of induction heating for semi-solid aluminum alloy forming", <i>Journal of Materials Processing Technology</i> , vol. 189, 2007, pp. 182-191.	زاویه سطح شیبدار	CA
[۱۵] نیلی احمد آبادی م., مهرآرا ح., آشوری ص., غیاثی نژاد ج., "فرآوری نیمه‌جامد آلیاژ آلمینیم A356 به روش سطح شیبدار؛ بررسی تاثیر دمای سطح و دمای باربریزی به کمک آلیاژ A356", مجله ریخته‌گری، سال بیست و هفتم، شماره ۴، پاییز ۱۳۸۶، ۸۸.	دماهی قالب	MT
[16] Park J.H., Choi J.C., Kim Y.H., Yoon J.M., "A study of the optimum reheating process for A356 Alloy in semi-solid forging", <i>International Journal of Advanced Manufacturing Technology</i> , vol. 20, no. 4, 2002, pp. 277-283.	شبکه‌های پس انتشار پیشخور	BPNN
[17] Nourouzi S., Ghavamodini S.M., Baseri H., Kolahdooz A., Botkan M., "Microstructure evolution of A356 aluminum alloy produced by cooling slope method", <i>Advanced Materials Research</i> , Vol. 402, 2012, pp. 272-276.		
[18] Hosseini S.S., Nourouzi S., Hosseinipour S.J., Kolahdooz A., "Effect of slope plate variable and pouring temperature on semi-solid microstructure of A356 aluminum alloy", <i>steel metal Research</i> , 2012, pp. 779-782.		

مراجع:

- [1] Chou H.N., Govender G., Ivanchev L., "Opportunities and challenges for use of SSM forming in the aerospace industry", *TTP, solid state phenomena*, Vol. 116-117, 2006, pp. 92-95.
- [2] Jaffari M.R., Zebarjad S.M., Kolahan F., "Simulation of A356 Aluminium Alloy Using finite element method", *Materitials science engineering A*, 2007, pp. 454-455.
- [3] Motegi T., Tanabe F., sugiura E., "Continuous casting of semisolid aluminium alloys", *Material Science Forum*, vol. 1, 2002, pp. 203-208.
- [4] Shiomi M., Takano D., Osakada K., Otsu M., "Forming of aluminum alloy at temperatures just below melting point", *International Journal Machine Tool Manufacture*, 2003, pp. 229-235.
- [5] Giordano P., Chiarmetta G., "Thixo and rheo casting: comparison on a high production volume component", *Proceedings of the 7th international conference on semisolid processing of alloys and composites*, Japan, June, 2002, p. 665-70.
- [6] Fan Z., "Method and apparatus for producing semisolid metal slurries and shaped components", *Revision Modify Physics*, vol. 52, 1980, pp. 1-58.
- [7] Fan Z., Ji S., Liv G., Zhang E., "Development of the Rheo Die Casting Process for Mg Alloys and Their components", BCAST, Brunel Uneverstiy, Oxbridge, Middlesex, UB. 3PH, VK, 2005.
- [8] Birol Y., "A357 thixoforming feedstock produced by cooling slope casting", *Journal of Materials Processing Technology*, vol. 186, 2007, pp. 94-101.